

สภากาชาดไทย สำนักงานคณะกรรมการรับบริจาค จัดทำโดย บริษัท เอเชียพาร์ค จำกัด



นาย ภูวนัย จริยวราษฎร์

ศูนย์วิทยบริการ จุฬาลงกรณ์มหาวิทยาลัย

วิทยานิพนธ์นี้ เป็นส่วนหนึ่งของการศึกษาตามหลักสูตรปริญญาวิทยาศาสตรมหาบัณฑิต

หลักสูตร เทคโนโลยีทางชีวภาพ

บัณฑิตวิทยาลัย จุฬาลงกรณ์มหาวิทยาลัย

พ.ศ. 2537

ISBN 974-584-680-5

ลิขสิทธิ์ของบัณฑิตวิทยาลัย จุฬาลงกรณ์มหาวิทยาลัย

OPTIMIZATION OF L-LYSINE SEPARATION PROCESS USING
CATION EXCHANGE RESIN

Mr. Poowanai Jariyawaranoogoon

A Thesis Submitted in Partial Fulfillment of the Requirements
for the Degree of Master of Science

Programme of Biotechnology

Graduate School

Chulalongkorn University

1994

ISBN 974-584-680-5

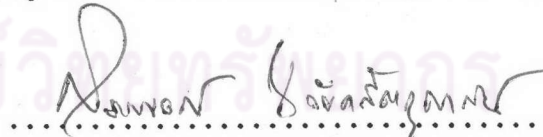
หัวขอวิทยานิพนธ์ สภาฯที่เหมาะสมของกระบวนการแยกแอล-ໄลชีน
โดย เรียนແລກເປີຍແຄຕໄວອອນ
นาย ງວະນັຍ ຈິຍົວຮານຸ້ມ
ภาควิชา หลักສູตรເທິດໂນໂລຢີທຳງົງກາພ
อาจารย์ที่ปรึกษา ผู้ช่วยศาสตราจารย์ ดร.ສุรพงศ์ นังคสัตถุศาสโน^น
รองศาสตราจารย์ ดร.ໄພເຣະ ປິນພານີ້ກາຣ

บັນທຶກວິທາລັບ ຈຸ່າລົງກຣົມຫາວິທາລັບ ອຸນົມຕິໃຫ້ນັບວິທານີພົນຮົນນັນນີ້ ເປັນສ່ວນໜຶ່ງຂອງ
ກາຮືກຍາຕາມຫຼັກສູຕຽບປິ່ງມານຫາບັນທຶກ

 ຄະນະດີບັນທຶກວິທາລັບ
(ศาสตราจารย์ ดร.ສາວົວ ວັຈະວັດຍ)

ຄະດີກຣມກາຮືກວິທານີພົນຮົນ

 ປະຊາບກຣມກາຮືກ
(ຜູ້ຊ່າຍຄ່າສົດຖາຈາຣຍ໌ ดร.ຄີຣິຕັນ ເຮັງພິພັກ໌)

 ກຣມກາຮືກ
(ຜູ້ຊ່າຍຄ່າສົດຖາຈາຣຍ໌ ดร.ສຸຮັພັງ ນັງຄັສົດຖາສົນ໌)

 ກຣມກາຮືກ
(รองศาสตราจารຍ์ ดร.ໄພເຣະ ປິນພານີ້ກາຣ)

 ກຣມກາຮືກ
(ຜູ້ຊ່າຍຄ່າສົດຖາຈາຣຍ໌ ดร.ອມຣ ເພີ່ຮສມ໌)

พิมพ์ต้นฉบับที่ดัดย่อวิทยานิพนธ์ภาษาไทยในกรอบสีเขียวนี้เพียงแผ่นเดียว

ผู้วิจัย จริยาฐานุกูล : สภาวะที่เหมาะสมของการแยกแอล-ไลซิน โดยใช้เรซินแลกเปลี่ยนแคตไอออน (OPTIMIZATION OF L-LYSINE SEPARATION PROCESS USING CATION EXCHANGE RESIN) อาจารย์ที่ปรึกษา : ผศ.ดร.สุรพงษ์ นังคสัตถุศาสตร์ อาจารย์ที่ปรึกษาร่วม : รศ.ดร.ไพร Hera บีบานิษการ, 136 หน้า. ISBN 974-584-680-5

งานวิจัยนี้มีจุดประสงค์ที่จะหาสภาวะที่เหมาะสมในการแยกแอล-ไลซินจากน้ำมักและทำให้บริสุทธิ์ พบว่ากระบวนการที่มีประสิทธิภาพคือ การใช้แคตไอออนเรซินชนิด Strong: NH_4^+ -type โดยเมื่อใช้แอล-ไลซินเริ่มต้นเข้มข้น 0.3 มิลลิกรัม 45 นาที และเรซิน 10 กรัม จะให้ความจุในการดูดซับของเรซินและผลิตผลกลับคืนสูงสุดในหนึ่งครั้งคือ 8.5 ลิตร/กรัม เห็นได้ชัดเจน เมื่อ pH ลดลง 7.5 และ 9.0 เปอร์เซนต์ตามลำดับ ขณะที่ถ้าใช้น้ำมักแอล-ไลซินจะมีค่าเท่ากับ 63 และ 72 เปอร์เซนต์ตามลำดับ ค่า pH เริ่มต้นของน้ำมักที่เหมาะสมในขั้นตอนการดูดซับคือ 2.0 ระบบนี้ใช้ตัวชี้วัดที่ประกอบด้วย 2 มิลลิกรัม ไอกไซด์และ 2 มิลลิกรัม ไฮโดรคลอริก 20 และ 22 นาที ตามลำดับ ต่อเรซิน 10 กรัม และชีวะล้างเรซินในขั้นตอนสุดท้ายด้วยน้ำกลันจันมีสภาพเป็นกลาง ในระหว่างการชีวะชีวะเรซินในตัวชีวะด่าง 30 นาที เพื่อให้ถึงจุดอิ่มตัวของการชีวะ ซึ่งมีผลให้สารละลายแอล-ไลซินที่ชีวะออกมากเข้มข้นประมาณ 20 เปอร์เซนต์ และค่าผลิตผลกลับคืนเพิ่มขึ้น 7 เปอร์เซนต์ นอกจากนี้ระบบมีอย่างสามารถใช้งานได้ที่อุณหภูมิเฉลี่ยของประเทศไทยคือ 31 °C สารละลายแอล-ไลซินที่ผ่านขั้นตอนการแยกแอล-ไลซินออกจากคราฟต์แล้ว นำสารละลายส่วนน้ำปรับ pH ที่ 5.5-6.0 จากนั้นนำไปเยี่ยงเข้มข้นจนถึงจุดอิ่มตัวของการละลายประมาณ 460 กรัมต่อลิตรเพื่อตอกผลึก นำผลึกที่ได้นำไปอบที่อุณหภูมิ 115 °C หรือมากกว่าจนผลึกแห้งสนิท ผลการวิเคราะห์ความบริสุทธิ์ของผลึกโดยวิธีแมสเปกโตรามิเตอร์โดยใส่ตัวอย่างผ่านเครื่องลิคิวิดโครมาโทกราฟใช้เทคนิคแอดโนมส์เฟอริก เพรสเซอร์ เคมิคอล ไอโออิน-เชซั่น แสดงให้เห็นว่าการปรับสารละลายที่ pH 5.5-6.0 ให้ผลึกที่มีความบริสุทธิ์สูงที่สุด

ศูนย์วิทยบริการ จุฬาลงกรณ์มหาวิทยาลัย

C426425 : MAJOR BIOTECHNOLOGY

KEY WORD: L-LYSINE/CATION EXCHANGE RESIN/SELECTIVITY COEFFICIENT

OPTIMIZATION OF L-LYSINE SEPARATION PROCESS USING CATION EXCHANGE RESIN. THESIS ADVISOR : ASSIS. PROF. SURAPONG NAVANKASATTUSAS, Ph.D., THESIS CO-ADVISOR : ASSO. PROF. PAIROH PINPHANICHAKARN, Ph.D. 135 pp. ISBN 974-584-680-5

The objective of this study is to find the optimum condition for the separation and purification of L-lysine from fermentation broth. Highest adsorption and recovery were observed when 45 ml of a 0.3 molar starting solution was loaded onto a NH_4^+ -type strong cation exchange column using 10 g of resin. For L-lysine monohydrochloride, percentage of adsorption and recovery were 75 and 90 percent respectively while those of L-lysine broth were 63 and 72 percent, respectively. The optimal initial pH of the broth for adsorption was 2.0. The suitable elution steps were first with 20 ml of 2M ammonium hydroxide and then with 22 ml of 2M hydrochoric acid. Following elution, the resin was washed with distilled water until the pH returned to neutral. During the elution step, the resin was soaked in the alkali solution for 30 minutes to allow equilibration. The equilibration step increased the eluate L-lysine concentration by approximately 20 percent and the recovery by 7 percent. In addition, this system could be carried out at 31 °C, the average temperature of Thailand. The pH of the L-lysine eluate was adjusted to 5.5-6.0 and then evaporated until reaching the saturation concentration of 460 grams per liter, for crystallization. The crystals obtained were subsequently dried at 115 °C or higher until crystals were completely dried. Purity analysis of the crystal by mass spectrometer connecting with liquid chromatography, using the atmoshperic pressure chemical ionization technique showed that the crystal obtained from the solution with pH adjusted to 5.5-6.0 had higher purity.

ศูนย์วิทยบริการ จุฬาลงกรณ์มหาวิทยาลัย

ภาควิชา..... เทคโนโลยีทางชีวภาพ

ลายมือชื่อนักศึกษา.....

สาขาวิชา..... เทคโนโลยีทางชีวภาพ

ลายมือชื่ออาจารย์ที่ปรึกษา.....

ปีการศึกษา..... 2536

ลายมือชื่ออาจารย์ที่ปรึกษาร่วม.....

กิตติกรรมประกาศ



การวิจัยเรื่อง "สภาพที่เหมาะสมของกระบวนการแยกแอล-ไอลีนโดยใช้เรซินแลกเปลี่ยน
แคตไออ่อน" สำเร็จลุล่วงด้วยดีจนสมบูรณ์เป็นรายงานการวิจัยฉบับนี้ ถือว่าความอนุเคราะห์จาก
ผู้ช่วยศาสตราจารย์ ดร.สุรพงษ์ นังคสัตถุศาสน์ และรองศาสตราจารย์ ดร.ไฟเราะ มั่นพาณิช
การที่ได้กรุณารับเป็นอาจารย์ที่ปรึกษา ให้คำแนะนำและแนวความคิด อันมีค่าอย่างตลอดระยะเวลา
การดำเนินการวิจัย

ขอกราบขอบพระคุณ รองศาสตราจารย์ ดร.นลิน นิลอุบล ผู้อำนวยการสถาบันเทคโนโลยี
ชีวภาพและวิศวกรรมพันธุศาสตร์ ที่ให้การสนับสนุนและอนุญาตให้ใช้สถานที่ ตลอดจนอุปกรณ์และ
สารเคมีสำหรับทำงานวิจัย และได้รับการสนับสนุนเงินทุนอุดหนุนการวิจัยของบัณฑิตวิทยาลัย ซึ่ง
เป็นปัจจัยสำคัญที่ทำให้การวิจัยสามารถดำเนินการและบรรลุความสำเร็จได้

ขอกราบขอบพระคุณ ผู้ช่วยศาสตราจารย์ ดร.อมร เพชรสม ที่ให้การสนับสนุนและช่วยเหลือ
ในด้านงานวิเคราะห์ตัวอย่างในการดำเนินการวิจัย

ขอกราบขอบพระคุณ ผู้ช่วยศาสตราจารย์ ดร.ศิริรัตน์ เรืองพิพัฒน์ และ ผู้ช่วยศาสตราจารย์
ดร.อมร เพชรสม ที่กรุณารับเป็นกรรมการสอบแก้ไขวิทยานิพนธ์ฉบับนี้ให้สมบูรณ์ยิ่งขึ้น

ขอขอบพระคุณ คณาจารย์หลักสูตร เทคโนโลยีชีวภาพ จุฬาลงกรณ์มหาวิทยาลัย
ขอขอบคุณ คุณฯเจี๊ยบ โรชิเวชกุล คุณธรรมร์ หอมจันทร์ เจ้าหน้าที่ฝ่ายช่างเทคนิค พื้นที่ก
วิจัย ที่ เพื่อนและน้องเทคโนโลยีชีวภาพ เจ้าหน้าที่สถาบันเทคโนโลยีชีวภาพและวิศวกรรมพันธุ
ศาสตร์ทุกท่าน ที่ได้มีส่วนช่วยในด้านสถานที่ เครื่องมือ อุปกรณ์ สารเคมี คำแนะนำและ
กำลังใจอันเป็นประโยชน์อย่างยิ่งต่อการดำเนินการวิจัย

สารบัญ

	หน้า
บทคัดย่อภาษาไทย	๔
บทคัดย่อภาษาอังกฤษ	๕
กิจกรรมประการ	๖
สารบัญ	๗
สารบัญตาราง	๘
สารบัญภาพ	๙
คำอธิบายสัญลักษณ์และคำชี้อ้อ	๑๐

บทที่

1 บทนำ	
1.1. ความสำคัญและแนวโน้มปริมาณการใช้แอล-ไอลีน	1
1.2. มาตรฐานผลิตภัณฑ์	6
1.3. การผลิตแอล-ไอลีน	7
1.4. หลักการแยกและทำให้บริสุทธิ์	12
1.5. การพัฒนาระบวนการแยกและทำให้บริสุทธิ์	16
1.6. การพัฒนารูปแบบผลิตภัณฑ์และบรรจุภัณฑ์	21
1.7. สมบัติทางฟิสิกส์-เคมี	24
1.8. การวิเคราะห์ปริมาณแอล-ไอลีน	28
1.9. กระบวนการบำบัดน้ำเสียและผลพลอยได้จากการกระบวนการ	31
1.10. ขอบเขตของงานวิจัย	35
2 อุปกรณ์และวิธีดำเนินการวิจัย	
2.1. อุปกรณ์และสารเคมีที่ใช้ในการทดลอง	36
2.2. การทดลองในระบบแบบทึบ	38
2.3. การทดลองในระบบคลุมทึบ	40

สารบัญ (ต่อ)

2.4. การทดลองการตกผลึก	43	
2.5. วิธีการวิเคราะห์	43	
3 ผลการทดลอง		
3.1. การศึกษาสภาวะในระบบแบบที่		
3.1.1. การหาเวลาที่ถึงจุดอิ่มตัวของเรซินในการกรดขับและการชะแอล-ไอลชีน รูมนิไฮดรคลอไรต์		46
3.1.2. การศึกษาปัจจัยที่ส่งผลกระทบต่อขั้นตอนการกรดขับและการชะ		52
3.1.2.1 ความจุของเรซินที่เปลี่ยนไปเมื่อใช้งานหลายรอบ		52
3.1.2.2 ปัจจัยของน้ำกลั่นล้างเรซินหลังขั้นตอนการชะ		54
3.1.2.3 ปัจจัยของปริมาณตัวชี้ที่ต้องปริมาณการกรดขับและการชะในรอบต่อไป		58
3.1.2.4 ค่า selectivity coefficient ของแอล-ไอลชีน รูมนิไฮดรคลอไรต์		62
3.1.2.5 pH เริ่มต้นในขั้นตอนการกรดขับ		63
3.2. การศึกษาสภาวะในระบบคลั้มน์		
3.2.1. การวัด breakthrough curve		65
3.2.2. การศึกษาปัจจัยของตัวชี้		68
3.2.2.1 สัดส่วนที่เหมาะสมสมของตัวชี้ต่างและกรด		68
3.2.2.2 สัดส่วนที่เหมาะสมสมของตัวชี้ต่าง กรด และน้ำกลั่น		70
3.2.3. การศึกษาจุดอิ่มตัวของเรซินในขั้นตอนการกรดขับและการชะ		72
3.2.3.1 ขั้นตอนการกรดขับ		72
3.2.3.2 ขั้นตอนการชะ		74
3.2.3.3 ประสิทธิภาพของเรซินที่ผ่านการใช้งานหลายรอบ		76
3.2.4. ปัจจัยของอุณหภูมิในขั้นตอนการกรดขับและการชะ		78
3.2.4.1 การแปรอุณหภูมิในขั้นตอนการกรดขับและการชะ		78
3.2.4.2 การหาเวลาที่ถึงจุดอิ่มตัวในขั้นตอนการกรดขับและการชะที่ อุณหภูมิต่างๆ		81

สารบัญ (ต่อ)

3.2.5	ปัจจัยของอัตราการไหล	83
3.2.6	ปัจจัยของสิ่งบนเบื้อง	85
3.3	สภาวะของการตกผลึก	91
3.4	การวิเคราะห์ปริมาณยาอล-ไอลชีนเรมโรนไยรัครคลอไรต์	
3.4.1	การวิเคราะห์โดยการวัดค่าการดูดกลืนแสง	94
3.4.2	การวิเคราะห์ด้วยวิธีไอออนโคมาราโตกราฟฟิ	98
3.5	การวิเคราะห์ความบริสุทธิ์ของผลึกยาอล-ไอลชีนเรมโรนไยรัครคลอไรต์ด้วยวิธี แมสสเปกโกรามิเตอร์ โดยใช้ตัวอย่างผ่านเครื่องลิคิวตรโคมาราโตกราฟโดย เทคนิคแอดромสเพอริก เพรสเซอร์ เคมิคัล ไอօนไลน์เชชัน (LC/MS: Atmospheric Pressure Chemical Ionization Technique) .	102
4.	วิจารณ์ผลการทดลองและสรุป	108
	เอกสารอ้างอิง	115
	ภาคผนวกที่	
1.	แคตไอออนเรซินที่ใช้ในการทดลอง	132
2.	สูตรอาหารที่ใช้ในการวิจัย	133
3.	การเตรียมสารเคมีที่ใช้ในการวิจัย	134
	ประวัติผู้เขียน	135

สารบัญตาราง

ตารางที่	หน้า
1 สมดุลย์ของกรดอะมิโนในอาหารสุกร	2
2 แนวโน้มของจำนวนปศุสัตว์และความต้องการแอล-ไอลีนในประเทศไทย อํอสเตรเลีย (1989-89)	3
3 ปริมาณการผลิตและการใช้แอล-ไอลีนในประเทศไทย	4
4 ปริมาณการนำเข้าแอล-ไอลีนจากต่างประเทศ	4
5 ก้าลังการผลิตของแอล-ไอลีนในประเทศไทยที่ไม่ใช่คอมมูนิสต์	6
6 ลักษณะทางเคมีและพิสิกส์ของแอล-ไอลีนรูปไข่డรอคลอไรด์	7
7 การพัฒนาสายพันธุ์ <i>B. lactofermentum</i> ของ บริษัท อายิรันะโรมะติ๊ะ จำกัด	11
8 ชนิดของเรชินที่ใช้ในกระบวนการแยกทางอุตสาหกรรม	12
9 ปัจจัยต่างๆ ในกระบวนการแยกแอล-ไอลีนและทำให้บริสุทธิ์ด้วยแคตไออ่อน เรชินชนิด strong ที่ระบุในสิทธิบัตรประเทศไทยต่างๆ ช่วงปี 1980-91: ประเภท คอลัมน์เดียว (Single stage column system)	19
10 ปัจจัยต่างๆ ในกระบวนการแยกแอล-ไอลีนและทำให้บริสุทธิ์ด้วยแคตไออ่อน เรชินชนิด strong ที่ระบุในสิทธิบัตรประเทศไทยต่างๆ ช่วงปี 1980-91: ประเภท หลายคอลัมน์ (Multistage column system)	20
11 รูปแบบและวิธีการต่างๆ ในอุตสาหกรรมการผลิตแอล-ไอลีน	22
12 ค่า Ionization constants และค่า pH ที่ Isoelectric points ของแอล-ไอลีนที่อุณหภูมิ 25 °C	24
13 ค่า Ionization constants ของแอล-ไอลีนในเอทานอล	25
14 สมบัติทางพิสิกส์-เคมีอื่นๆ	25
15 ค่าสเปซิฟิกออฟพิคัลโรเทชันของแอล-ไอลีนรูปไข่డรอคลอไรด์	26
16 ค่าสเปซิฟิกออฟพิคัลโรเทชันของแอล-ไอลีนในฟอร์ม D- และ L-	26
17 ค่า Osmotic และ Activity coefficient ที่อุณหภูมิ 298.15 K	27

สารบัญตาราง (ต่อ)

18	ชนิดและปริมาณกรดอะมิโนที่เป็นองค์ประกอบของไอลีชีน	33
19	ชื่อเครื่องมือ รุ่นและบริษัทผู้ผลิตที่ใช้ในการทดลอง	36
20	รายชื่อสารเคมีและบริษัทผู้ผลิต	38
21	สภาวะที่ใช้ในการวิเคราะห์ปริมาณแอล-ไอลีชีนโนรอนไฮโดรคลอไรด์ ด้วยวิธีไอโอนน็อกซ์าร์มาโตกราฟี	44
22	ความเข้มข้นแอล-ไอลีชีนโนรอนไฮโดรคลอไรด์ที่ไม่ถูกดูดซับที่เรซินในขั้นตอน การดูดซับที่เวลาทุก 1 ชม.	46
23	ความเข้มข้นแอล-ไอลีชีนโนรอนไฮโดรคลอไรด์ที่ถูกดูดซับที่เรซินในขั้นตอน การดูดซับที่เวลาทุก 1 ชม. 30 นาทีและ 5 นาที	48
24	ความเข้มข้นแอล-ไอลีชีนโนรอนไฮโดรคลอไรด์ที่ถูกชะออกจากการเรซินใน ขั้นตอนการชะที่เวลาทุก 0.5 ชม.....	50
25	ความเข้มข้นแอล-ไอลีชีนโนรอนไฮโดรคลอไรด์ที่ถูกชะออกจากการเรซินใน ขั้นตอนการชะที่เวลาทุก 5 นาที	50
26	ความเข้มข้นแอล-ไอลีชีนโนรอนไฮโดรคลอไรด์ที่ถูกดูดซับและชะออกจากการ เรซินจำนวน 12 รอบ	53
27	ความเข้มข้นแอล-ไอลีชีนโนรอนไฮโดรคลอไรด์ที่ถูกดูดซับและชะออกจากการ เรซินโดยเพิ่มขั้นตอนการล้างเรซินด้วยน้ำกลิ้น 50 มล. ต่อรอบทดลอง 5 รอบ ..	54
28	ความเข้มข้นแอล-ไอลีชีนโนรอนไฮโดรคลอไรด์ที่ถูกดูดซับและคิดเป็น เบอร์เซนต์ในแต่ละรอบของการทดลอง	55
29	pH ของสารละลายในขั้นตอนการดูดซับและการชะ	55
30	ความเข้มข้นแอล-ไอลีชีนโนรอนไฮโดรคลอไรด์ที่ถูกดูดซับและชะออกจากการ เรซินจากการแปรปริมาณตัวจะ 25 50 และ 75 มล. จำนวน 5 รอบ	58
31	ความเข้มข้นแอล-ไอลีชีนโนรอนไฮโดรคลอไรด์ที่ถูกดูดซับและคิดเป็น เบอร์เซนต์ของแต่ละรอบการทดลอง	59
32	pH ของสารละลายในขั้นตอนการดูดซับ การชะและน้ำกลิ้นหลังจาก ล้างเรซินในขั้นตอนการชะ	59

สารบัญตาราง (ต่อ)

33	ค่า selectivity coefficient ของแต่ละรอบการทดลอง	62
34	ความเข้มข้นแอล-ไลชีนร์มرونไไฮดรคลอไรด์ที่ถูกดูดซับ และปริมาณที่ถูกดูดซับต่อกรัมเรซินเปรียบเทียบกับน้ำหมักแอล-ไลชีนที่ค่า pH เริ่มต้น 0.5-10 ..	63
35	ความเข้มข้นแอล-ไลชีนร์มرونไไฮดรคลอไรด์และ pH ในแต่ละลำดับส่วนของขั้นตอนการดูดซับและการซึ่งจาก breakthrough curve	65
36	เบอร์ เชนต์ผลิตผลกลับคืนจากการใช้ตัวชี้ที่แปรปริมาตรต่างเริ่มต้นเปรียบเทียบกับการซักรดายใช้ต่างส่วน	68
37	เบอร์ เชนต์ผลิตผลกลับคืนจากการตัวชี้ที่เป็นต่างและกรดที่สัดส่วนต่างๆ	70
38	เบอร์ เชนต์การดูดซับจากการแยกเรซินในสารละลายแอล-ไลชีนร์มرونไไฮดรคลอไรด์ในขั้นตอนการดูดซับที่เวลาต่างๆ เปรียบเทียบกับการไม่มี	72
39	เบอร์ เชนต์ผลิตผลกลับคืนจากการทดลองแยกเรซินจากขั้นตอนการดูดซับในตัวชี้ต่าง 2 รอมาร์แอมรมเนียมไไฮดรอกไซด์ที่เวลาต่างๆ เปรียบเทียบกับการไม่มี	74
40	ประสิทธิภาพของเรซินเดิมโดยพิจารณาเบอร์ เชนต์การดูดซับและผลิตผลกลับคืนในขั้นตอนการดูดซับและการซึ่งเมื่อใช้งาน 5 รอบ	76
41	เบอร์ เชนต์การดูดซับและผลิตผลกลับคืนของแอล-ไลชีนร์มرونไไฮดรคลอไรด์ที่อุณหภูมิ 25-60 °ช.....	78
42	เบอร์ เชนต์การดูดซับแอล-ไลชีนร์มرونไไฮดรคลอไรด์และเบอร์ เชนต์ผลิตผลกลับคืนจากการแยกอุณหภูมิ 25-50°ช และเวลาการแยกเรซินในขั้นตอนการซึ่ง 0 15 30 45 และ 60 นาที	81
43	เบอร์ เชนต์การดูดซับและผลิตผลกลับคืนจากการแปรอัตราการไหล	83
44	ผลการเพาะเลี้ยง <i>B. lactofermentum</i> ATCC 21798 ในถังหมักขนาด 5 ลิตร	86
45	เบอร์ เชนต์การดูดซับและผลิตผลกลับคืนของน้ำหมักจากการใช้งานเรซินเดิม 5 รอบ	89

สารบัญตาราง (ต่อ)

46	ความเข้มข้นที่จุดอิ่มตัวของการละลายของแอล-ไอลีนรมโนไซด์ร คลอไรต์ที่ pH ต่างๆ อุณหภูมิ 31 °C	91
47	ค่าสเปกต์ฟิวพทิกัลโรเทชัน $[\alpha]_D^{25}$ ของผลึกแอล-ไอลีนรมโนไซด์ร คลอไรต์ที่ pH ต่างๆ เปรียบเทียบกับค่ามาตรฐานอุตสาหกรรม	93
48	พีคของการสแกนตัวอย่างที่ทับปฏิกริยากับนินไฮดรินรีเอเจนต์ที่ pH ต่างๆ	94

**ศูนย์วิทยบรังษยการ
จุฬาลงกรณ์มหาวิทยาลัย**

สารบัญภาพ

ภาพที่	หน้า
1 สติ๊จานวนปศุสัตว์ของไทย	5
2 แผนภาพการผลิตแอล-ไอซีน	8
3 กระบวนการทางเอนไซม์เพื่อผลิตแอล-ไอซีนจาก DL-aminolactam	8
4 การสังเคราะห์แอล-ไอซีนโดย <i>Corynebacterium glutamicum</i>	9
5 แผนภาพแสดงเชกเม้นต์ร์โมเดล	13
6 แผนภาพไดอะแกรมของข้ออ่อนในกระบวนการคัดชั้บของระบบหลายคอลัมน์	15
7 ขั้นตอนหลักในกระบวนการแยกและทำให้บริสุทธิ์ที่มีการพัฒนาและจดเป็น สิทธิบัตรช่วงปี 1980-1990	17
8 รูปแบบและวิธีการต่างๆ ในอุตสาหกรรมการผลิตแอล-ไอซีน	23
9 ปฏิกริยาทางเอนไซม์ระหว่างแอล-ไอซีนกับเอนไซม์ แอล-ไอซีนดีكارบอซิเดส	29
10 ปฏิกริยาทางเอนไซม์ระหว่างแอล-ไอซีนกับเอนไซม์ไอซีน-แอลฟารอกซิเดส	30
11 ขั้นตอนการผลิตแอล-ไอซีน	34
12 ความเข้มข้นแอล-ไอซีนโนร์โนไซโรคคลอไรต์ที่ไม่ถูกคัดชั้บที่เรซินในขั้นตอน การคัดชั้บที่เวลาทุก 1 ชม.	47
13 ปริมาณการคัดชั้นแอล-ไอซีนโนร์โนไซโรคคลอไรต์ของเรซินทุก 1.0 ชม.	49
14 ปริมาณการคัดชั้นแอล-ไอซีนโนร์โนไซโรคคลอไรต์ของเรซินทุก 0.5 ชม.	49
15 ปริมาณการคัดชั้นแอล-ไอซีนโนร์โนไซโรคคลอไรต์ของเรซินทุก 5 นาที	49
16 ความเข้มข้นแอล-ไอซีนโนร์โนไซโรคคลอไรต์ที่ถูกชะออกจากการเรซินในขั้นตอน การชะทุก 0.5 ชม.	51
17 ความเข้มข้นแอล-ไอซีนโนร์โนไซโรคคลอไรต์ที่ถูกชะออกจากการเรซินในขั้นตอน การชะทุก 5 นาที	52
18 ความเข้มข้นแอล-ไอซีนโนร์โนไซโรคคลอไรต์ที่ถูกคัดชั้นและชะออกจากการเรซิน จำนวน 12 รอบ	53

สารบัญภาพ (ต่อ)

19 ความเจ้มขั้นแอล-ไอลชีนโนร์โนไซร์ดรคลอไรต์ที่ถูกดูดซับและละออกจากรีชินจำนวน 5 รอบจากการเพิ่มขั้นตอนล้างเรชินด้วยน้ำกลั่น 50 มล.ต่อรอบ	55
20 ความเจ้มขั้นแอล-ไอลชีนโนร์โนไซร์ดรคลอไรต์ที่ถูกดูดซับและละออกจากรีชินจำนวน 5 รอบจากการแปรปริมาตรน้ำกลั่นที่ใช้ล้างเรชิน 50 100 150 200 มล.ต่อรอบ	57
21 ความเจ้มขั้นแอล-ไอลชีนโนร์โนไซร์ดรคลอไรต์ที่ถูกดูดซับและละออกจากรีชินจากการแปรปริมาตรของตัวจะ 25 50 และ 75 มล. จำนวน 5 รอบ	61
22 pH ของสารละลายในขั้นตอนการดูดซับ การละและน้ำกลั่นหลังจากล้างเรชินในขั้นตอนการละจากการแปรปริมาณตัวจะ 25 50 และ 75 มล.	61
23 ความเจ้มขั้นแอล-ไอลชีนโนร์โนไซร์ดรคลอไรต์ที่ถูกดูดซับที่เรชินเบรียบเทียบกับน้ำมักแอล-ไอลชีนที่ pH เริ่มต้น 0.5-10.0	64
24 pH ของสารละลายที่จุดอิ่มตัวในขั้นตอนการดูดซับจาก pH เริ่มต้น 0.5-10.0	64
25 Breakthrough curve ของแอล-ไอลชีนโนร์โนไซร์ดรคลอไรต์จากแต่ละลำดับส่วนของขั้นตอนการดูดซับและการละ	67
26 pH profile ของ breakthrough curve แอล-ไอลชีนโนร์โนไซร์ดรคลอไรต์ในขั้นตอนการดูดซับและการละ	67
27 เปอร์เซนต์ผลลัพธ์คืนจากการใช้ตัวจะที่แปรปริมาตรต่างเริ่มต้น 30 20 และ 10 มล.ตามลำดับเบรียบเทียบกับการใช้ต่างส่วน	69
28 การเบรียบเทียบ pH profile ในขั้นตอนการดูดซับและการละที่แปรปริมาตรต่างเริ่มต้น 30 20 และ 10 มล.ตามลำดับ	69
29 เปอร์เซนต์ผลลัพธ์คืนจากการใช้ตัวจะที่แปรปริมาตรต่างและกรดเริ่มต้น 30 ต่อ 12 20 ต่อ 22 และ 10 ต่อ 32 มล.ตามลำดับ	71
30 การเบรียบเทียบ pH profile ในขั้นตอนการดูดซับและการละที่แปรปริมาตรต่างและกรดเริ่มต้น 30 ต่อ 12 20 ต่อ 22 และ 10 ต่อ 32 มล.ตามลำดับ	71
31 เปอร์เซนต์การดูดซับจากการแข็งเรชินในขั้นตอนการดูดซับ 15 30	

สารบัญภาพ (ต่อ)

45 และ 60 นาทีเปรียบเทียบกับการไม่แช่	73
32 pH profile ในขั้นตอนการดูดซึบจากการแปรเวลาการแช่เรซินใน ขั้นตอนการดูดซึบ 15 30 45 และ 60 นาที	73
33 เบอร์เซนต์ผลิตผลลัพธ์จากการทดลองแช่เรซินจากขั้นตอนการแช่ 15 30 45 และ 60 นาทีเปรียบเทียบกับการไม่แช่	75
34 pH profile ในขั้นตอนการดูดซึบและการแช่จากการแปรเวลา การแช่เรซินในขั้นตอนการแช่ 15 30 45 และ 60 นาที	75
35 เบอร์เซนต์การดูดซึบและผลิตผลลัพธ์ของการใช้งานเรซิน 5 รอบ โดย ใช้ตัวชี้ด่างและกรด 20 และ 22 มล. แช่เรซินในตัวชี้ด่าง 30 นาที	77
36 pH profile ในขั้นตอนการดูดซึบและการแช่ของการใช้งานเรซิน 5 รอบ	77
37 เบอร์เซนต์การดูดซึบ ผลิตผลลัพธ์ และปริมาณที่ออกเปรียบเทียบ กับปริมาณเริ่มต้นของแอล-ไลซีนโรโนไซโรคูลอไรด์ที่อุณหภูมิ 25-60 °ช	79
38 pH profile ในขั้นตอนการดูดซึบและการแช่จากการแปร อุณหภูมิ 25-60 °ช	80
39 เบอร์เซนต์การดูดซึบแอล-ไลซีนโรโนไซโรคูลอไรด์จากการแปร อุณหภูมิ 25-50 °ช และเวลาการแช่เรซินในขั้นตอนการแช่ 0 15 30 45 และ 60 นาที	82
40 เบอร์เซนต์ผลิตผลลัพธ์ของการแอล-ไลซีนโรโนไซโรคูลอไรด์จากการ แปรอุณหภูมิ 25-50 °ช และเวลาการแช่เรซินในขั้นตอนการแช่ 0 15 30 45 และ 60 นาที	82
41 เบอร์เซนต์การดูดซึบจากการแปรอัตราการไหลในขั้นตอนการดูดซึบ 2-7 ชม. ⁻¹	84
42 เบอร์เซนต์ผลิตผลลัพธ์จากการแปรอัตราการไหลในขั้นตอนการแช่ 5.22-10 ชม. ⁻¹	84

สารบัญภาพ (ต่อ)

43 ผลการเพาะเลี้ยง <i>B. lactofermentum</i> ATCC 21798 ในถังหมัก ขนาด 5 ลิตร	87
44 profile ในขั้นตอนการดูดซับและการฆ่าของน้ำหมักแอล-ไอลชีน จำนวน 5 รอบ	89
45 pH profile ในขั้นตอนการดูดซับและการฆ่าของน้ำหมักแอล-ไอลชีน จำนวน 5 รอบ	90
46 เบอร์เซนต์การดูดซับ พลิตผลกลับคืน และปริมาณที่จะออกเบรียบเทียบ กับปริมาณเริ่มต้นของน้ำหมักแอล-ไอลชีน	90
47 ความเข้มข้นที่จุดอิ่มตัวของการละลายแอล-ไอลชีนโนร์โนไฮดรคลอไรด์ ที่ pH ต่างๆ อุณหภูมิ 31 °C	92
48 ภาพพื้นของการสแกนตัวอย่างที่ทำปฏิกิริยาทับนินไไซดรินรีเอเจนต์ที่ pH 2 และ 10	96
49 กราฟมาตรฐานที่ความยาวคลื่น 440 นาโนเมตรในขั้นตอนการดูดซับและ การฆ่าเบรียบเทียบกับกราฟมาตรฐานเดิม	97
50 กราฟผลการวิเคราะห์ตัวอย่างแอล-ไอลชีนโนร์โนไฮดรคลอไรด์การทดสอบอาหารสัตว์ ด้วยวิธีไอออนโคโรมาटกราฟี	99
51 กราฟผลการวิเคราะห์ตัวอย่างแอล-ไอลชีนโนร์โนไฮดรคลอไรด์จากการผ่าน คลัมมน์แคตไอออนเรซิնด้วยวิธีไอออนโคโรมาटกราฟี	99
52 กราฟผลการวิเคราะห์ตัวอย่างแอล-ไอลชีนมาตรฐานด้วยวิธี LC/MS โดยเทคนิค APCI (-)	100
53 กราฟผลการวิเคราะห์ตัวอย่างแอล-ไอลชีนเกรดผสมอาหารสัตว์ด้วยวิธี LC/MS โดยเทคนิค APCI (-)	100
54 กราฟผลการวิเคราะห์ตัวอย่างพีคแอล-ไอลชีนด้วยวิธี LC/MS โดยเทคนิค APCI (-)	101
55 กราฟผลการวิเคราะห์ตัวอย่างพีค unknown I ด้วยวิธี LC/MS โดยเทคนิค APCI (-)	101

สารบัญภาพ (ต่อ)

56	กราฟผลการวิเคราะห์ตัวอย่างพีค unknown II ด้วยวิธี LC/MS โดยเทคนิค APCI (-)	102
57	กราฟผลการวิเคราะห์ตัวอย่างพลีกแอล-ไอลชีนโนมرونไฮดรคลอไรด์ จากการเตรียมที่ pH 1.0 ด้วยวิธี LC/MS โดยเทคนิค APCI (+)	103
58	กราฟผลการวิเคราะห์ตัวอย่างพลีกแอล-ไอลชีนโนมرونไฮดรคลอไรด์ จากการเตรียมที่ pH 2.0 ด้วยวิธี LC/MS โดยเทคนิค APCI (+)	103
59	กราฟผลการวิเคราะห์ตัวอย่างพลีกแอล-ไอลชีนโนมرونไฮดรคลอไรด์ จากการเตรียมที่ pH 3.0 ด้วยวิธี LC/MS โดยเทคนิค APCI (+)	104
60	กราฟผลการวิเคราะห์ตัวอย่างพลีกแอล-ไอลชีนโนมرونไฮดรคลอไรด์ จากการเตรียมที่ pH 4.0 ด้วยวิธี LC/MS โดยเทคนิค APCI (+)	104
61	กราฟผลการวิเคราะห์ตัวอย่างพลีกแอล-ไอลชีนโนมرونไฮดรคลอไรด์ จากการเตรียมที่ pH 5.0 ด้วยวิธี LC/MS โดยเทคนิค APCI (+)	105
62	กราฟผลการวิเคราะห์ตัวอย่างพลีกแอล-ไอลชีนโนมرونไฮดรคลอไรด์ จากการเตรียมที่ pH 6.0 ด้วยวิธี LC/MS โดยเทคนิค APCI (+)	105
63	กราฟผลการวิเคราะห์ตัวอย่างพลีกแอล-ไอลชีนโนมرونไฮดรคลอไรด์ จากการเตรียมที่ pH 7.0 ด้วยวิธี LC/MS โดยเทคนิค APCI (+)	106
64	กราฟผลการวิเคราะห์ตัวอย่างพลีกแอล-ไอลชีนโนมرونไฮดรคลอไรด์ จากการเตรียมที่ pH 8.0 ด้วยวิธี LC/MS โดยเทคนิค APCI (+)	106
65	กราฟผลการวิเคราะห์ตัวอย่างพลีกแอล-ไอลชีนโนมرونไฮดรคลอไรด์ จากการเตรียมที่ pH 9.0 ด้วยวิธี LC/MS โดยเทคนิค APCI (+)	107
66	กราฟผลการวิเคราะห์ตัวอย่างพลีกแอล-ไอลชีนโนมرونไฮดรคลอไรด์ จากการเตรียมที่ pH 9.55 ด้วยวิธี LC/MS โดยเทคนิค APCI (+)	107

ការបង្កាយសម្បត្តិកម្មណ៍នៃការបង្កាយ

ខ.ន.	=	ខ្ញុំរូមង
០៥	=	ឯកសារទីផ្សារ
មត.	=	មិត្តភីត្រ
មម.	=	មិត្តភីមេត្រ
\$	=	ហរិយុសហ្វុ
pH	=	តារាងបើករដតារា
M	=	រំលាន
K	=	ឯកសារកែលវិន
%	=	បែរីមេន្ត
LC/MS	=	វិធីមេសបេក្ខទរមិពេរីទេរីយិតិត្រូវឈើតាមយោងដោយក្រឹង តិកវិគុគ្រមានទករាង
APCI	=	ឱកចនសេដូរិក ពេរសមេរ៉ែ គមិត់ ឲូអូនីម៉ែន

គុណឃើមសាខាពាណិជ្ជកម្ម
គុណឃើមសាខាពាណិជ្ជកម្ម